

Санкт-Петербургский государственный университет

***ФАТТАХОВ Марат Русланович***

**Отчет по производственной практике**

# **Решение дифференциальных уравнений с сильным вырождением**

Направление 02.03.01 «Математика и компьютерные науки»  
Основная образовательная программа СВ.5001.2021 «Математика и  
компьютерные науки»

Научный руководитель:  
профессор кафедры вычислительной математики,  
д.ф.-м.н. Бурова И. Г.

# Содержание

1 Обзор литературы .....	3
2 Цель работы .....	4
3 Аппроксимация решения первой краевой задачи для вырождающихся одномерных дифференциальных уравнений второго порядка .....	4
3.1 Вид уравнения .....	4
3.2 Аппроксимация в пространстве $\mathbb{W}_2^1$ .....	5
3.2.1 Основа вариационно-сеточного метода .....	5
3.3 Одномерный случай .....	6
3.4 Порядок аппроксимации .....	8
3.5 Погрешность приближения .....	8
3.5.1 Случай слабого вырождения .....	9
3.5.2 Случай сильного вырождения .....	9
3.6 Применение к конкретной задаче .....	9
4 Заключение .....	13
5 Список литературы .....	14
6 Приложения .....	15
6.1 Код программы на языке Wolfram .....	15

# 1 Обзор литературы

Исследования, посвящённые вырождающимся дифференциальным уравнениям второго порядка, охватывают широкий круг вопросов, связанных с существованием, единственностью и асимптотическим поведением решений, а также с особенностями задач Коши и краевых задач.

В работе Н. Х. Розова, В. Г. Сушко и Д. И. Чудовой [1] изучены обыкновенные дифференциальные уравнения второго порядка с коэффициентом при старшей производной, обращающимся в нуль. Доказываются теоремы о существовании и единственности решений краевых задач. Важное внимание уделено так называемым бисингулярным задачам, возникающим при вырожденных уравнениях, коэффициенты которых обращаются в нуль на некотором множестве. Отмечается, что такие задачи требуют дополнительных исследований, поскольку в ряде случаев решения могут отсутствовать в заданном классе функций или требуют применения специальных методов для доказательства существования.

Методы построения асимптотических представлений решений вырождающихся дифференциальных уравнений второго порядка подробно рассмотрены в работах В. П. Архипова и А. В. Глушака. В их статье «Вырождающиеся дифференциальные уравнения второго порядка. Асимптотические представления решений» [2] предложены формулы для нахождения собственных значений, а также оценки резольвенты задачи Дирихле. Эти методы позволяют исследовать решения в комплексной плоскости, а также в зависимости от параметра, что делает их универсальными при анализе широкого класса задач.

Дополнительное внимание к асимптотическому поведению решений уделено в статье «Первые асимптотики решений вырождающихся дифференциальных уравнений второго порядка» [3]. Здесь предложен подход, позволяющий строить точные степенные асимптотики решений в окрестности точки вырождения. Такой метод важен для анализа особенностей поведения решений и их сходимости.

Отдельно рассматривается задача Коши для вырождающихся дифференциальных уравнений второго порядка [4]. В. Архипов и А. Глушак изучили разрешимость задач Коши с начальными условиями, заданными в точке вырождения, и предложили методы для

определения первых асимптотик решений. В статье приводятся примеры, иллюстрирующие теоретические положения. Авторами установлено, что вид начальных условий существенно зависит от знака коэффициента при первой производной, что обуславливает специфику построения решений в данных задачах.

## **2 Цель работы**

Разработать и исследовать методы аппроксимации решений краевых задач для вырождающихся дифференциальных уравнений второго порядка. В частности, основное внимание уделяется:

1. Формализации аппроксимации в функциональных пространствах, таких как  $W_2^1(0, 1)$ , с использованием вариационно-сеточных методов.
2. Разработке и анализу координатных систем для одномерных задач, обеспечивающих сходимость аппроксимации в энергетической норме.
3. Оценке порядка аппроксимации, полученной с использованием линейной интерполяции, а также практическому применению методов к конкретным задачам.
4. Построению численных методов и их верификации на тестовых примерах с известными аналитическими решениями.

Целью является не только теоретический анализ разработанных методов, но и их практическое применение, что позволит подтвердить эффективность предложенных подходов.

## **3 Аппроксимация решения первой краевой задачи для вырождающихся одномерных дифференциальных уравнений второго порядка**

### **3.1 Вид уравнения**

В данной главе работы будет рассмотрено уравнение следующего вида:

$$\begin{aligned}
& -\frac{d}{dx} \left[ x^\alpha p(x) \frac{du}{dx} \right] + q(x)u = f(x), \quad 0 < x < 1, \quad f \in L_2(0, 1), \\
& q \text{ измерима, ограничена, неотрицательна на } [0, 1] \\
& \alpha = \text{const} > 0, \quad p \in C^1[0, 1], \quad p(x) \geq p_0 = \text{const} > 0 \\
& u \in \mathbb{W}_2^1(0, 1)
\end{aligned} \tag{1}$$

## 3.2 Аппроксимация в пространстве $\mathbb{W}_2^1$

### 3.2.1 Основа вариационно-сеточного метода

Пусть в гильбертовом пространстве  $H$  действует линейный положительно-определенный оператор  $A$  и требуется найти решение уравнения

$$Au = f, \quad f \in H \tag{2}$$

Принято вводить функционал энергии и энергетическую норму с энергетическим произведением:

$$\begin{aligned}
[u, v]_A &:= (Au, v), \\
\|u\|_A^2 &:= [u, u]_A = (Au, u), \\
\mathcal{F}(u) &:= \frac{1}{2}[u, u]_A - (f, u)
\end{aligned} \tag{3}$$

При положительной определенности оператора  $A$  функционал энергии является выпуклым, из чего следует, что ноль его производной является точкой минимума.

$$\begin{aligned}
\mathcal{F}'(u)h &= [u, h]_A - (f, h) \\
\mathcal{F}'(u_0) = 0 &\Leftrightarrow \forall h \in H \quad [u_0, h]_A = (f, h) \Leftrightarrow Au_0 = f
\end{aligned} \tag{4}$$

Если решение  $u_0$  аппроксимируется в конечномерном пространстве  $H_n$  с энергетическим произведением  $[\cdot, \cdot]_A$ , то критерием минимальности функционала энергии в точке  $u_n \in H_n$  будет следующая система линейных уравнений:

$$\begin{aligned}
u_n &= \sum_{k=1}^n a_k \varphi_k, \text{ где } \text{Lin } \{\varphi_1, \dots, \varphi_n\} = H_n, \\
(\mathcal{F} |_{H_n})'(u_n) &= 0 \Leftrightarrow \frac{\partial}{\partial a_k} \mathcal{F}(u_n) = 0, \quad k = 1, \dots, n \\
\frac{\partial}{\partial a_k} \mathcal{F}(u_n) &= \frac{\partial}{\partial a_k} \left[ \frac{1}{2} \sum_{i=1}^n \sum_{k=1}^n a_i a_k [\varphi_i, \varphi_k]_A - \sum_{i=1}^n a_i (f, \varphi_i) \right] = \\
&= \sum_{i=1}^n a_i [\varphi_i, \varphi_k]_A - (f, \varphi_k) = 0, \quad k = 1, \dots, n
\end{aligned} \tag{5}$$

Приведенная схема называется методом Ритца.

Основой сеточного метода аппроксимации является выбор функций  $\varphi_i$ , которые связаны с координатной сеткой в области аппроксимации и задаются простыми формулами. Эти базисные функции  $\varphi_i$  мы будем называть координатными функциями. Выбор функций ограничен лишь условием полноты системы  $\left\{ \left\{ \varphi_{n,i} \right\}_{i=1}^{k_n} \right\}_n$ , где для каждого  $n$  задается подпространство  $H_n$  размерности  $k_n$  и функции  $\varphi_{n,i}$  образуют базис в этом подпространстве, а полнота системы – это условие

$$\forall u \in H \quad \lim_{n \rightarrow \infty} \inf_{v_n \in H_n} \|u - v_n\|_A = 0, \tag{6}$$

то есть любая функция  $u$  может быть аппроксимирована с любой точностью в энергетической норме.

В книге [5] показано, что если координатная система  $\{\varphi_{n,i}\}$  полна в смысле описанном выше, то построенная при помощи системы (5) аппроксимация сходится в энергетической норме к решению исходного уравнения.

Р. Курантом в [6] было показано, что необязательно выбирать последовательность подпространств  $H_n$ , которые строго вложены друг в друга, как изначально предполагалось в методе Ритца, главное, чтобы система базисов этих пространств была полна.

### 3.3 Одномерный случай

Вернемся к поставленной задаче, в [7] описаны необходимые и достаточные условия для минимальной координатной системы в  $\mathbb{W}_p^s(\Omega \subset \mathbb{R}^m)$  вида

$$\left\{ \varphi_{q,j,h}(x) = \omega_q\left(\frac{x}{h} - j\right) \right\}_{j \in J_h, |q|=0,\dots,s-1}, \quad (7)$$

которая при помощи функции  $u_h$  аппроксимирует любую функцию  $u \in C_0^s(\bar{\Omega})$  в метрике  $\dot{\mathbb{W}}_p^s(\Omega)$ , а также эту же функцию  $u$  в метрике  $C^{s-1}(K)$  для любого компакта  $K \subset \Omega$  при  $h \rightarrow 0$ . Здесь  $h$  – шаг сетки,  $J_h$  – конечный набор целых мультииндексов размера  $m$ , такой что  $\bigcup_{j \in J_h} \text{supp } \varphi_{q,j,h} \supset \Omega \ \forall q$ , а аппроксимирующая функция  $u_h$  определяется как

$$\sum_{|q|=0}^{s-1} \sum_{j \in J_h} h^{q \cdot u^{(q)}} ((j+1)h) \omega_q\left(\frac{x}{h} - j\right) \quad (8)$$

В случае  $\mathbb{W}_2^1(0,1)$  получается, что  $q \equiv 0$ , то есть необходимо найти одну базисную функцию  $\omega(x) : \mathbb{R} \rightarrow \mathbb{R}$ , которая должна удовлетворять следующим условиям, описанным в [7]:

$$\begin{aligned} \text{supp } \omega &= [0, 2], \quad \omega \in C(\mathbb{R}) \\ \omega(x+1) + \omega(x) &= 1 \quad \forall x \in [0, 1], \\ \omega(x) &= \begin{cases} \varphi(x) & , \ x \in [0, 1] \\ \psi(x-1) & , \ x \in [1, 2] \\ 0 & , \ x \in \mathbb{R} \setminus [0, 2] \end{cases}, \end{aligned} \quad (9)$$

$\varphi, \psi : [0, 1] \rightarrow \mathbb{R}$  - полиномы степени не выше 1

Что приводит к системе с четырьмя неизвестными:

$$\begin{aligned} \varphi(x) &= ax + b, \quad \psi(x) = cx + d, \\ \begin{cases} 0 = \omega(0) = \varphi(0) \\ 1 = \omega(1) = \varphi(1) = \psi(0) \\ 0 = \omega(2) = \psi(1) \\ 1 = \omega(x) + \omega(x+1) = \varphi(x) + \psi(x) \end{cases} \end{aligned} \quad (10)$$

Единственным решением системы является

$$\begin{aligned} \varphi(x) &= x, \quad \psi(x) = 1 - x, \\ \omega(x) &= \begin{cases} x & , \ x \in [0, 1] \\ 2 - x & , \ x \in [1, 2] \\ 0 & , \ x \in \mathbb{R} \setminus [0, 2] \end{cases} \end{aligned} \quad (11)$$

### 3.4 Порядок аппроксимации

Вернемся к нашей задаче, одномерный случай,  $s = 1$ ,  $\Omega = (0, 1)$ .

Координатная система в этом случае имеет вид

$$\left\{ \varphi_{j,h}(x) = \omega\left(\frac{x}{h} - j\right) \right\}_{j \in J_h} \quad (12)$$

А аппроксимирующая функция имеет вид

$$u_h(x) = \sum_{j \in J_h} u((j+1)h) \omega\left(\frac{x}{h} - j\right) \quad (13)$$

Для удобства введем обозначение  $x_j := jh$ . Тогда на промежутке  $[x_j, x_{j+1}]$  ненулевыми  $\varphi_{\cdot,h}$  будут только  $\varphi_{j,h}$  и  $\varphi_{j-1,h}$ .

Тогда на этом промежутке

$$u_h(x) = u(x_{j+1})\varphi_{j,h}(x) + u(x_j)\varphi_{j-1,h}(x), \quad (14)$$

но на каждом промежутке  $[x_j, x_{j+1}]$   $\varphi_{\cdot,h}$  являются полиномами степени не выше 1, и верно  $\varphi_{i-1,h}(x_i) = 1$ , то есть на самом деле мы имеем дело с линейной интерполяцией: вписываем ломаную в график функции  $u$  в точках  $x_j$ .

Для интерполяционного многочлена есть оценка остатка:

$$\begin{aligned} x \in [x_j, x_{j+1}] &\Rightarrow \\ |u(x) - u_h(x)| &\leq \sup_{x \in (x_j, x_{j+1})} |u''(x)| \cdot \frac{1}{2!} |(x - x_j)(x - x_{j+1})| \end{aligned} \quad (15)$$

Несложно проверить, что  $|(x - x_j)(x - x_{j+1})| \leq \frac{1}{4}h^2$ , тогда

$$\|u - u_h\|_{C(0,1)} \leq \frac{1}{8}h^2 \sup_{x \in (0,1)} |u''(x)| \quad (16)$$

То есть мы ожидаем не лучше, чем квадратичную сходимость.

### 3.5 Погрешность приближения

В предыдущем пункте была получена оценка погрешности приближения  $u$  линейной интерполяцией. В [8] получена важная для нас оценка:

$$\|u - u^h\|_A \leq \|u - u_h\|_A, \quad (17)$$



где  $u^h$  – приближенное решение, получаемое при помощи метода Рунге, а  $u_h$  – вписанная в график  $u$  ломаная, с узлами в точках  $x_j$ . Таким образом, при наличии оценки на  $\|u - u_h\|_A$ , можно оценить погрешность приближения  $u^h$  к  $u$ .

### 3.5.1 Случай слабого вырождения

Случай  $0 < \alpha < 1$  называется случаем слабого вырождения. В данном случае в [7] было показано, что

$$\|u - u_h\|_A \leq C\|f\|_{L_2} h^{(1-\alpha)/2}. \quad (18)$$

И данная оценка точна в том смысле, что существует функция  $u$ , для которой  $\|u - u_h\|_A = C\|f\|_{L_2} h^{(1-\alpha)/2}$ .

### 3.5.2 Случай сильного вырождения

Случай  $1 \leq \alpha < 2$  называется случаем сильного вырождения. В данном случае в [7] было показано, что

$$\|u - u_h\|_A \leq C\|f\|_{L_2} h^{1-\frac{\alpha}{2}}. \quad (19)$$

И данная оценка почти точна в том смысле, что для любого  $\varepsilon > 0$  существует функция  $u$ , для которой  $\|u - u_h\|_A \geq Ch^{1-\frac{\alpha}{2}-\varepsilon}$ .

#### 3.5.2.1 Улучшение оценки

На самом деле (см. [7]), при  $f \in L_r(0, 1)$ ,  $2 < r \leq \infty$ , можно получить лучшую оценку в случае  $1 \leq \alpha < 2$ :

$$\|u - u_h\|_A \leq C\|f\|_{L_r} h^{1-\frac{\alpha}{2}-\frac{1}{r}}, \quad (20)$$

где при  $r = \infty$  следует считать  $\frac{1}{r} = 0$ .

## 3.6 Применение к конкретной задаче

В качестве примера рассмотрим задачу

$$-\frac{d}{dx} \left( x^\alpha \frac{du}{dx} \right) + u = \frac{3^{3-\alpha} - 2(3-\alpha)x - 1}{3-\alpha}, \quad (21)$$

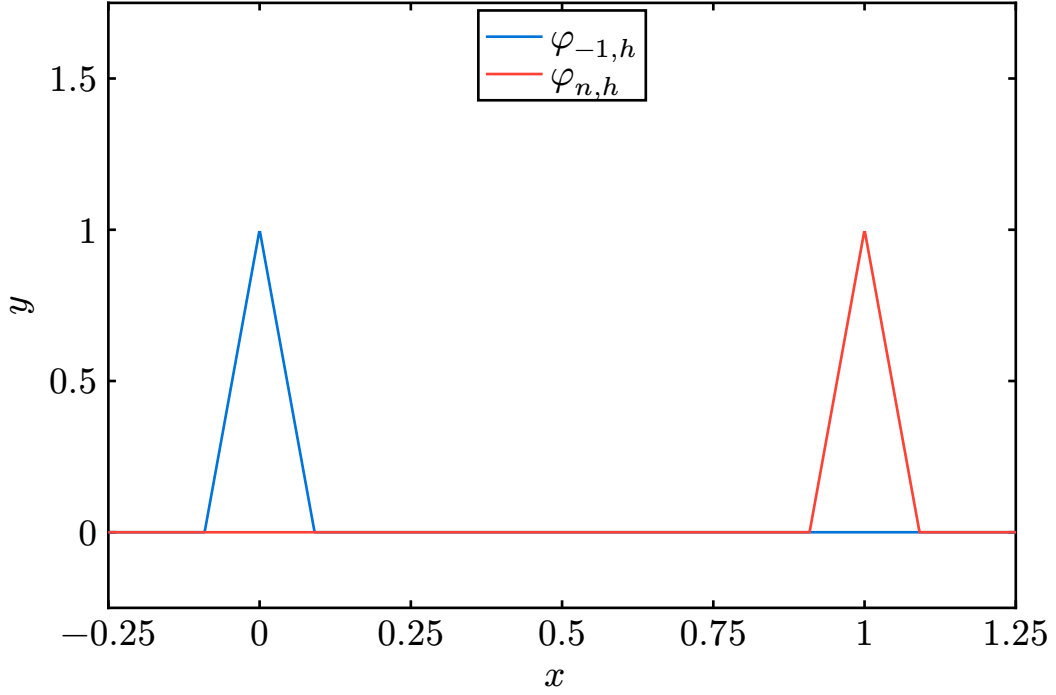
$$0 < x < 1 \quad 1 \leq \alpha \leq 2$$

Тогда  $u(0) = 0$  и нужно ставить условие только на конце  $u(1)$ . Пусть  $u(1) = 0$ . Правая часть уравнения получалась подстановкой

$$u(x) = \frac{x^{3-\alpha} - 1}{3 - \alpha}, \quad (22)$$

то есть это точное решение задачи.

Возьмем натуральное  $n$  и по нему построим  $h = 1/(n + 1)$ , тогда в координатной системе  $\{\varphi_{i,h}\}$  первая и последняя функции выглядят следующим образом:



Будем строить аппроксимирующую функцию вида  $u_h = \sum_{k=-1}^n a_k \varphi_{k,h}$ , заметим, что так как  $u(1) = 0$ , то коэффициент при последнем члене  $a_n = 0$ .

По предложенному в пункте 3.2 методу строим аппроксимирующую путем решения системы

$$\sum_{k=-1}^{n-1} a_k [\varphi_{k,h}, \varphi_{j,h}]_A = (f, \varphi_{j,h}), \quad j = -1, \dots, n \quad (23)$$

Тут

$$\begin{aligned}
Au &= -\frac{d}{dx} \left( x^\alpha \frac{du}{dx} \right) + u, \\
[\varphi_{k,h}, \varphi_{j,h}]_A &= (A\varphi_{k,h}, \varphi_{j,h}) = \\
&= \int_0^1 \left\{ \left( -\frac{d}{dx} \left( x^\alpha \frac{d}{dx} \varphi_{k,h} \right) + \varphi_{k,h} \right) \cdot \varphi_{j,h} \right\} dx = \\
&= \int_0^1 \left\{ x^\alpha \left( \frac{d}{dx} \varphi_{k,h} \right) \left( \frac{d}{dx} \varphi_{j,h} \right) + \varphi_{k,h} \varphi_{j,h} \right\} dx - x^\alpha \left( \frac{d}{dx} \varphi_{k,h} \right) \varphi_{j,h} \Big|_0^1
\end{aligned} \tag{24}$$

Видно, что подстановка  $x^\alpha \left( \frac{d}{dx} \varphi_{k,h} \right) \varphi_{j,h} \Big|_0^1$  равна нулю в случае, если хотя бы один из  $k$  или  $j$  не равен  $n$ . Так как  $k = -1, \dots, n-1$ , то подстановка всегда равна 0. Произведение в правой части – классическое скалярное произведение функций

$$(f, \varphi_{j,h}) = \int_0^1 f(x) \varphi_{j,h}(x) \tag{25}$$

Расчеты производились в системе математических вычислений с точностью 8 знаков после запятой.

Результаты вычислений приведены в виде таблиц абсолютных погрешностей

	$h = 0.01$	$h = 0.001$	$h = 0.0001$
0.0	4.90e-5	6.82e-7	5.09e-3
0.1	1.57e-5	1.57e-7	5.33e-3
0.2	1.11e-5	1.11e-7	4.92e-3
0.3	8.53e-6	8.53e-8	4.36e-3
0.4	6.72e-6	6.72e-8	3.74e-3
0.5	5.29e-6	5.29e-8	3.09e-3
0.6	4.06e-6	4.06e-8	2.43e-3
0.7	2.96e-6	2.96e-8	1.78e-3
0.8	1.94e-6	1.94e-8	1.15e-3
0.9	9.55e-7	9.55e-9	5.55e-4

Таблица 1. Абсолютные погрешности,  $\alpha = 1$

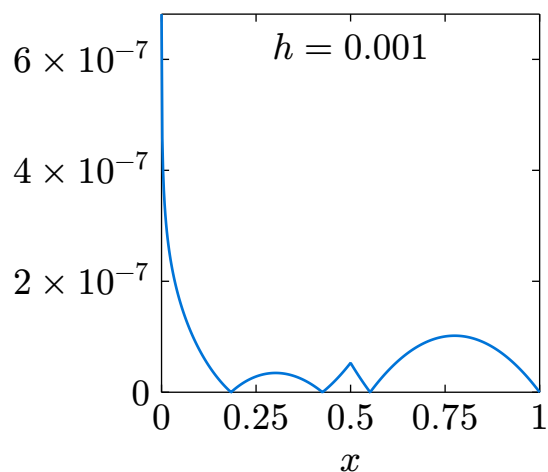
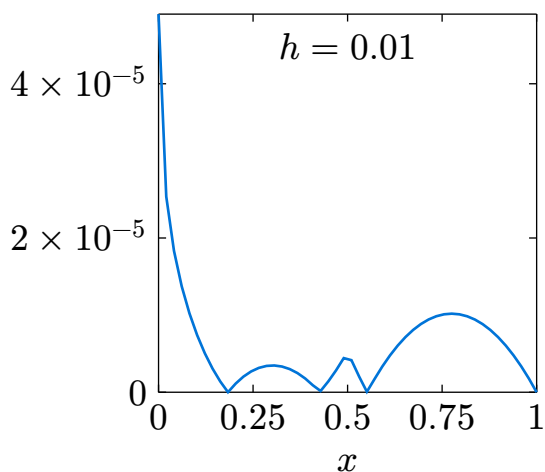
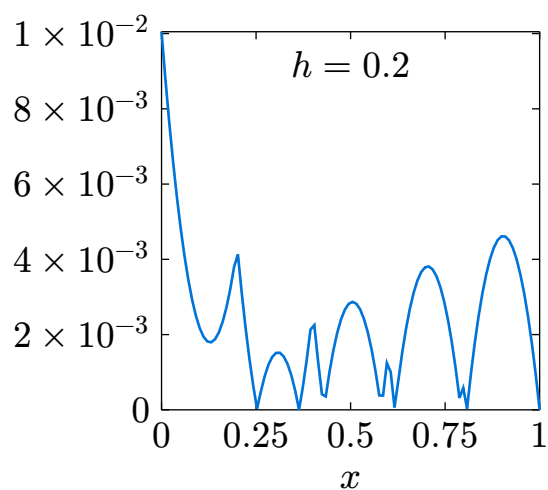
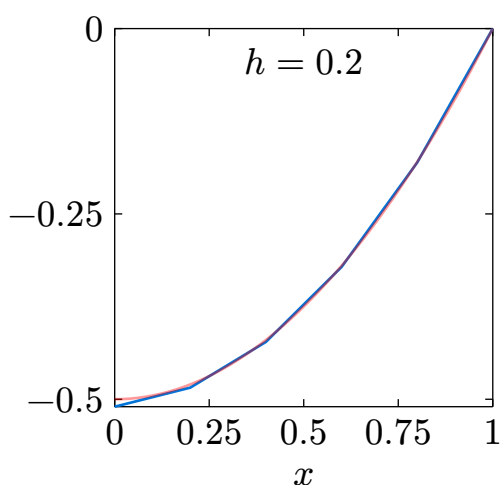
	$h = 0.01$	$h = 0.001$
0.0	2.34e-4	8.26e-6
0.1	1.79e-5	1.76e-7
0.2	1.04e-5	1.03e-7
0.3	7.18e-6	7.12e-8
0.4	5.26e-6	5.22e-8
0.5	3.91e-6	3.88e-8
0.6	2.86e-6	2.84e-8
0.7	2.00e-6	1.98e-8
0.8	1.26e-6	1.25e-8
0.9	5.98e-7	5.94e-9

Таблица 2. Абсолютные погрешности,  $\alpha = 1.5$

	$h = 0.01$	$h = 0.001$
0.0	4.07e-4	2.75e-5
0.1	1.13e-5	1.09e-7
0.2	5.85e-6	5.71e-8
0.3	3.80e-6	3.72e-8
0.4	2.66e-6	2.61e-8
0.5	1.91e-6	1.88e-8
0.6	1.36e-6	1.34e-8
0.7	9.25e-7	9.11e-9
0.8	5.68e-7	5.61e-9
0.9	2.65e-7	2.62e-9

Таблица 3. Абсолютные погрешности,  $\alpha = 1.8$

Также приведены графики приближенного решения и абсолютных погрешностей для  $\alpha = 1$ :



## 4 Заключение

В ходе работы был исследован метод аппроксимации решений краевых задач для вырождающихся дифференциальных уравнений второго порядка, основанный на вариационно-сеточных методах. В процессе реализации выделены основные этапы аппроксимации в функциональных пространствах, таких как  $W_2^1(0, 1)$ , с использованием линейных базисных функций, что позволило обеспечить сходимость решений в энергетической норме.

Показано, что использование предложенной координатной системы позволяет с высокой точностью аппроксимировать решения в рамках заданной задачи. Анализ порядка аппроксимации показал, что для линейной интерполяции ошибки аппроксимации оцениваются квадратично. Верификация полученных численных решений на тестовых примерах с известными аналитическими решениями подтвердила корректность методов и их применимость к реальным задачам.

Практическое применение метода было продемонстрировано на конкретной задаче с аналитическим решением, где была построена аппроксимирующая функция, что позволило провести численный эксперимент и получить точные результаты. Таким образом, результаты работы подтверждают эффективность предложенной аппроксимации для решения краевых задач вырождающихся дифференциальных уравнений второго порядка, а также подчеркивают важность выбора правильной координатной системы для достижения необходимой точности.

Дальнейшие исследования могут быть направлены на расширение предложенных методов для многомерных и более сложных задач, а также на разработку более эффективных сеточных построений и алгоритмов решения.

## 5 Список литературы

1. Розов Н. Х., Сушко В. Г., Чудова Д. И. Дифференциальные уравнения с вырождающимся коэффициентом при старшей производной // Фундаментальная и прикладная математика. 1998. т. 4, № 3. сс. 1063–1095
2. Архипов В. П., Глушак А. В. Вырождающиеся дифференциальные уравнения второго порядка. Асимптотические представления решений // Прикладная математика & Физика. 2016. т. 44, № 20(241). сс. 5–22
3. Архипов В. П., Глушак А. В. Первые асимптотики решений вырождающихся дифференциальных уравнений второго порядка // ПМ&Ф. Belgorod State University, 2023. т. 55, № 3. сс. 197–206
4. Архипов В. П., Глушак А. В. Задача Коши для вырождающихся дифференциальных уравнений второго порядка // ПМ&Ф. Belgorod State University, 2024. т. 56, № 2. сс. 87–96
5. Михлин С. Г. Вариационные методы в математической физике. 2-е изд. "Наука", 1970
6. Курант Р. Variational methods for the solution of problem of equilibrium and vibrations. // Bulletin of the American Mathematical Society. 1942. т. 49, № 1
7. Михлин С. Г. Численные методы и автоматическое программирование // Записки научных семинаров ПОМИ. 1974. т. 48. сс. 32–188
8. Gusman Y., Oganessian L. Inequalities for the convergence of finite difference schemes for degenerate elliptic equations // USSR Computational Mathematics and Mathematical Physics. 1965. т. 5, № 2. сс. 256–267

## 6 Приложения

### 6.1 Код программы на языке Wolfram

```
alpha = 1; h = 0.2; n = 1/h - 1;

fc := Compile[{{x, _Real}},
  (x^(3-alpha) - 2(3-alpha)x - 1) / (3-alpha)
]; f[x_?NumericQ] := fc[x];

uexact := Compile[{{x, _Real}}, (x^(3-alpha) - 1) / (3-alpha)];

wc := Compile[{{x, _Real}}, Piecewise[{
  {x, 0<=x<1},
  {2-x, 1<=x<=2}
}, 0]]; w[x_?NumericQ] := wc[x];

phiCompiled = Table[
  With[{j = j},
    Compile[{{x, _Real}}, w[x/h - j]]
  ],
  {j, -1, n - 1}
];

phi = Table[
  With[{i = i},
    phiCompiled[[i]][#] &,
    {i, 1, Length[phiCompiled]}
  ];

phiD := Table[With[{j = j}, Piecewise[{
  {1/h, h * j <= # < h * (j+1)},
  {-1/h, h * (j+1) <= # <= h * (j+2)}
}, 0]&], {j, -1, n - 1}];

fj = ParallelTable[NIntegrate[
  f[x] * phi[[j+2]][x],
  {x, Max[0,h*j], Min[1,h*(j+2)]},
  WorkingPrecision -> 32, PrecisionGoal -> 8,
  MaxRecursion -> 20, AccuracyGoal -> 8,
  Method -> {Automatic, "SymbolicProcessing" -> 0}
], {j, -1, n-1}];

t := ParallelTable[
  NIntegrate[
    x^alpha * phiD[[j+2]][x] * phiD[[j+2]][x] + phi[[j+2]][x] * phi[[j+2]][x],
    {x, Max[0,h*j], Min[1,h*(j+2)]},
    WorkingPrecision -> 16, PrecisionGoal -> 8,
    MaxRecursion -> 20, AccuracyGoal -> 8
  ], {j, -1, n-1}
];
```

```

tt := ParallelTable[
  NIntegrate[
    x^alpha * phiD[[j+1]][x] * phiD[[j+2]][x] + phi[[j+1]][x] * phi[[j+2]][x],
    {x, Max[0,h*j], Min[1,h*(j+2)]},
    WorkingPrecision -> 16, PrecisionGoal -> 8,
    MaxRecursion -> 20, AccuracyGoal -> 8
  ], {j, 0, n-1}
];

k := Length[t]; systemcoef = SparseArray[
  {
    Band[{1, 1}] -> t,
    Band[{2, 1}] -> tt,
    Band[{1, 2}] -> tt
  },
  {k, k}
];
a := LinearSolve[systemcoef, fj]; Print[a]

```